

数据分析报告

基础信息

Key	Rate
FileName	20240117_Sync_Y0004_04_H01_Run0002. hdf5
NP	DPN2675-E. Coli-PN-L844-N042:N101-6Plinker-交联磷脂-60min
CYCLE	1. 0, 1. 0
Voltage	-80. 0, 80. 0
Aperture	W49-C023
total_avarage_identity	87. 21041874
total_sub_len	429476992
subs_more_than_80_pr	0. 927678657
subs_more_than_83_pr	0. 886902306
subs_more_than_85_pr	0. 832003851
subs_more_than_88_pr	0. 588008402
subs_more_than_90_pr	0. 215196943
valid_reads_num	73168
invalid_reads_num	2792
total_matched_reads_num	75960
total_reads_len	524216687
total_valid_reads_len	507649072
total_valid_reads_coverage	0. 846011577
global_min_len	106
global_max_len	69919
global_median_len	7595
global_mean_len	6805. 067529
average_linker_speed	1. 963799447
average_basecall_lifetime	3528. 997273

上孔信息

Key	Rate	Num
single_pore	0.029	15204.352
multi_pore	0.0769	40317.7472
suspected	0.0025	1310.72
appearance	0.1524	79901.4912

单孔信号良率

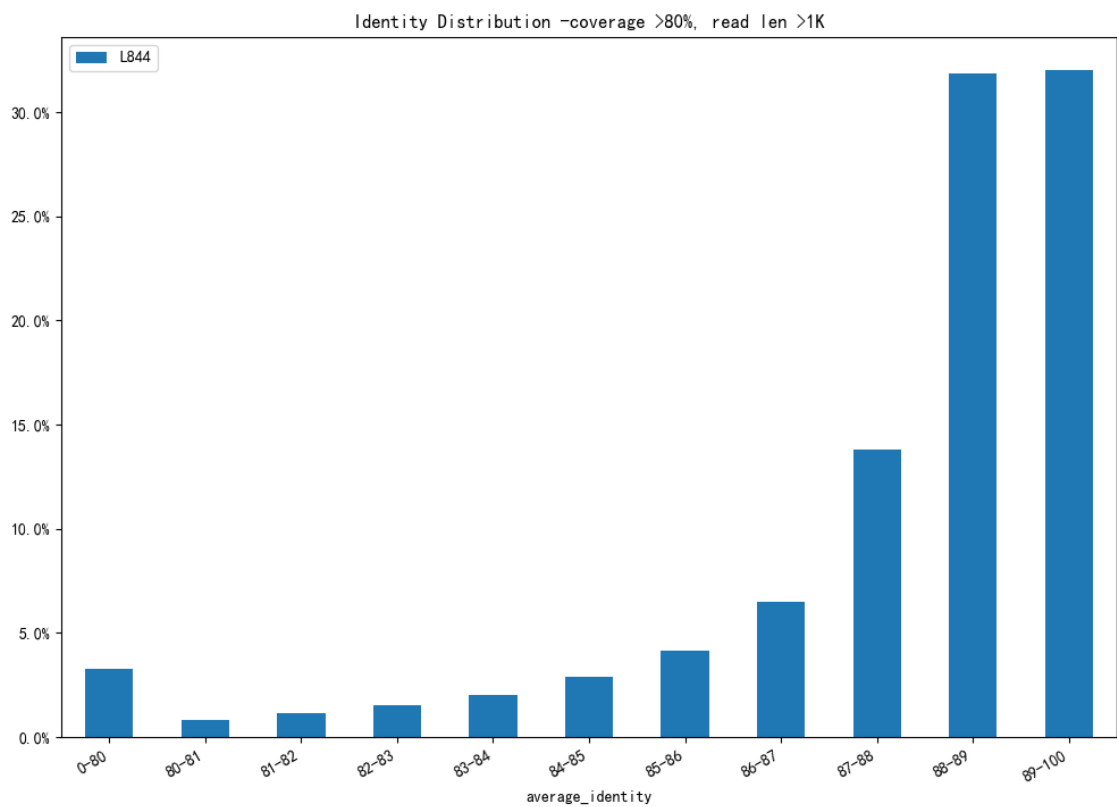
目录

- 1. 准确率相关统计
 - 1.1 准确率分布
 - 1.2 与读长关系
 - 1.3 错误类型统计
- 2. 读长相关统计
- 3. 速度相关统计
- 4. AR相关统计
 - 4.1 与Block Rate的关系
 - 4.2 AR分布
- 5. DW相关统计
 - 5.1 与Block Rate的关系
 - 5.2 DW分布
- 6. Capture Rate相关统计
 - 6.1 与Block Rate的关系
 - 6.2 CR分布
- 7. Pore-LT与Basecall-LT相关统计

1. 准确率相关统计

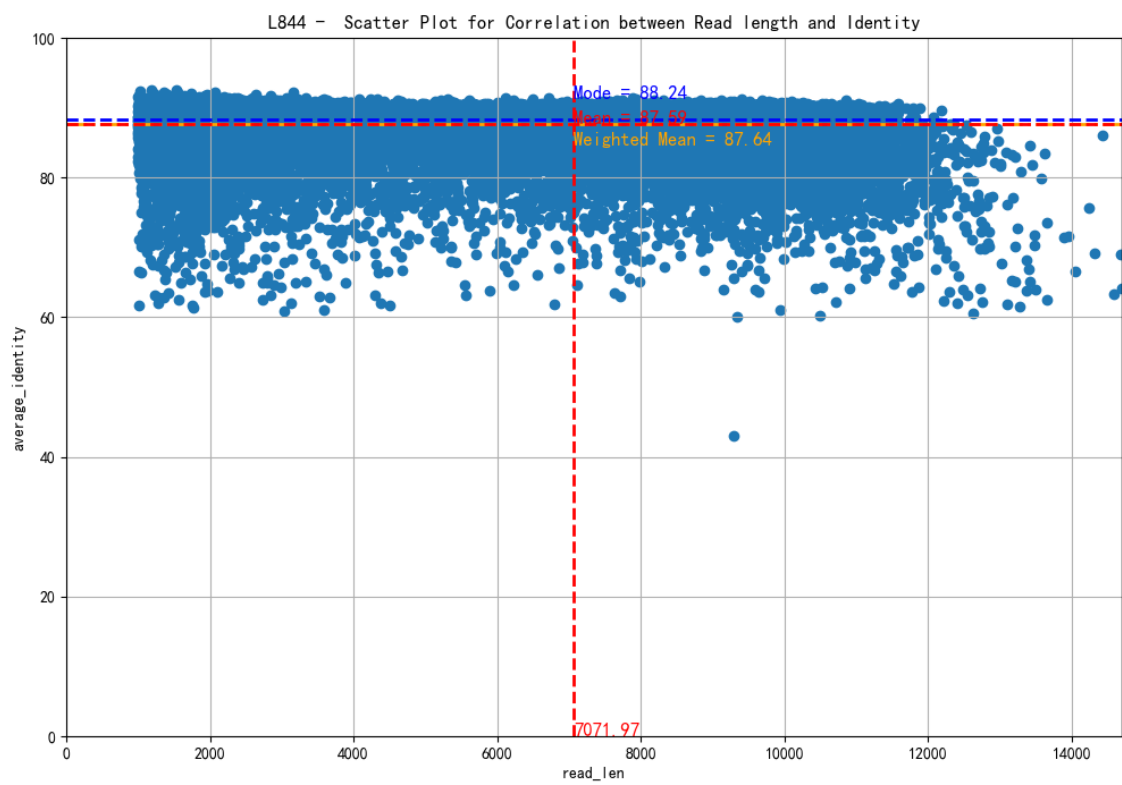
1.1 准确率分布

Fig 1-1-1 准确率分布直方图



1.2 与读长关系

Fig 1-2-1 Read len与Identity相关性散点图



1.3 错误类型统计

Table 1-3-1 错误类型统计汇总表

Base	Substitution	Insertion	Deletion	IDS_count
X	7855724 (1.83%)	32286509 (7.52%)	12896508 (3.0%)	53038741 (12.35%)
A	1735989 (0.4%)	11821533 (2.75%)	3020774 (0.7%)	16578296 (3.85%)
T	1851350 (0.43%)	5972314 (1.39%)	2797345 (0.65%)	10621009 (2.47%)
C	1938989 (0.45%)	9798747 (2.28%)	3233150 (0.75%)	14970886 (3.48%)
G	2329394 (0.54%)	4693921 (1.09%)	3845242 (0.9%)	10868557 (2.53%)

Fig 1-3-3 错误类型统计汇总图

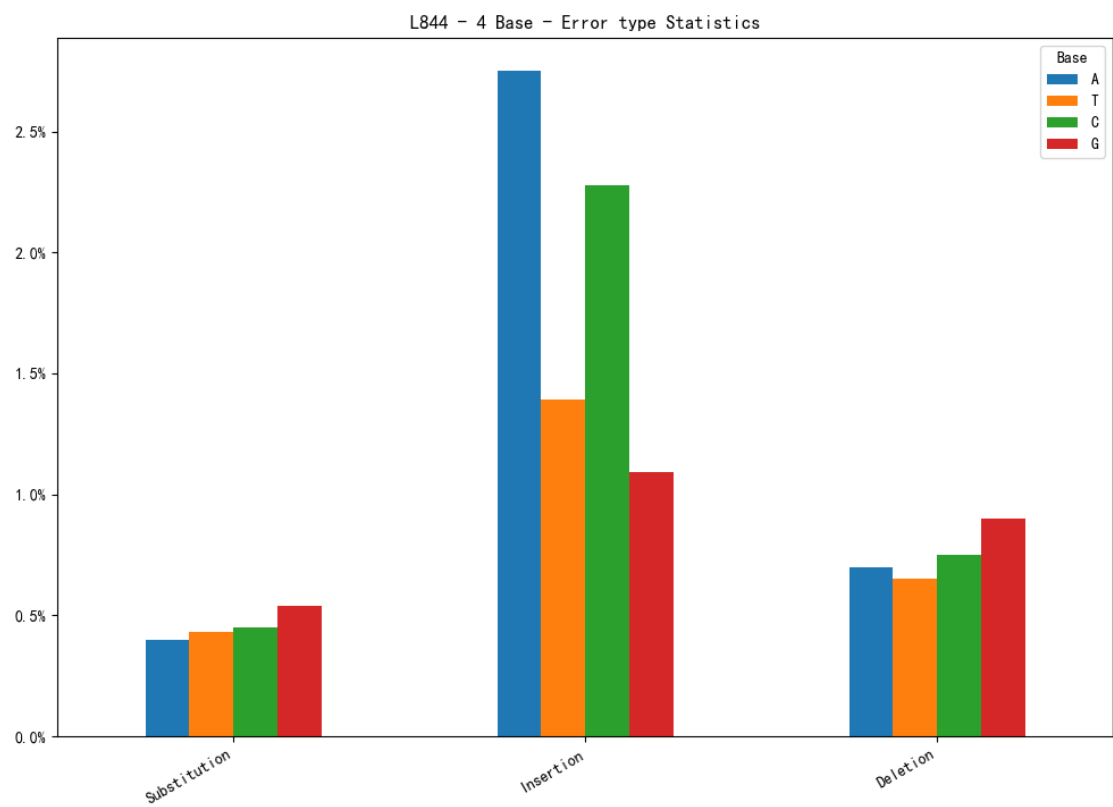


Fig 1-3-1 总-错误类型统计

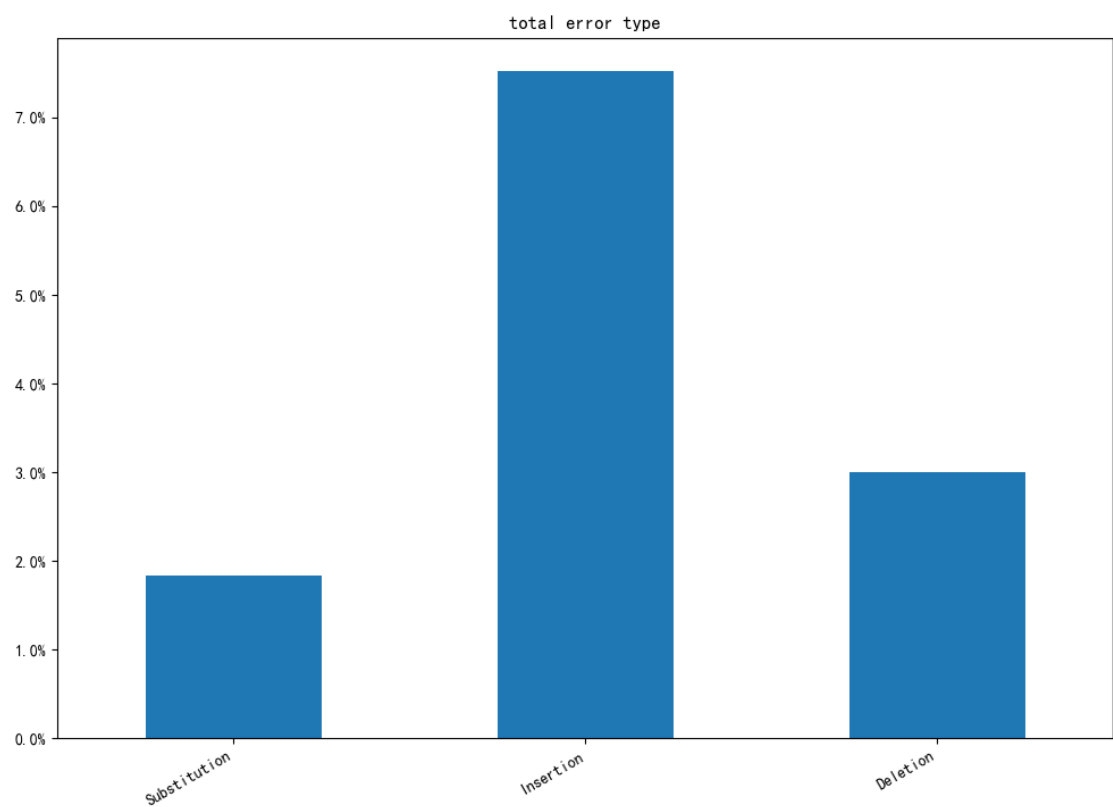
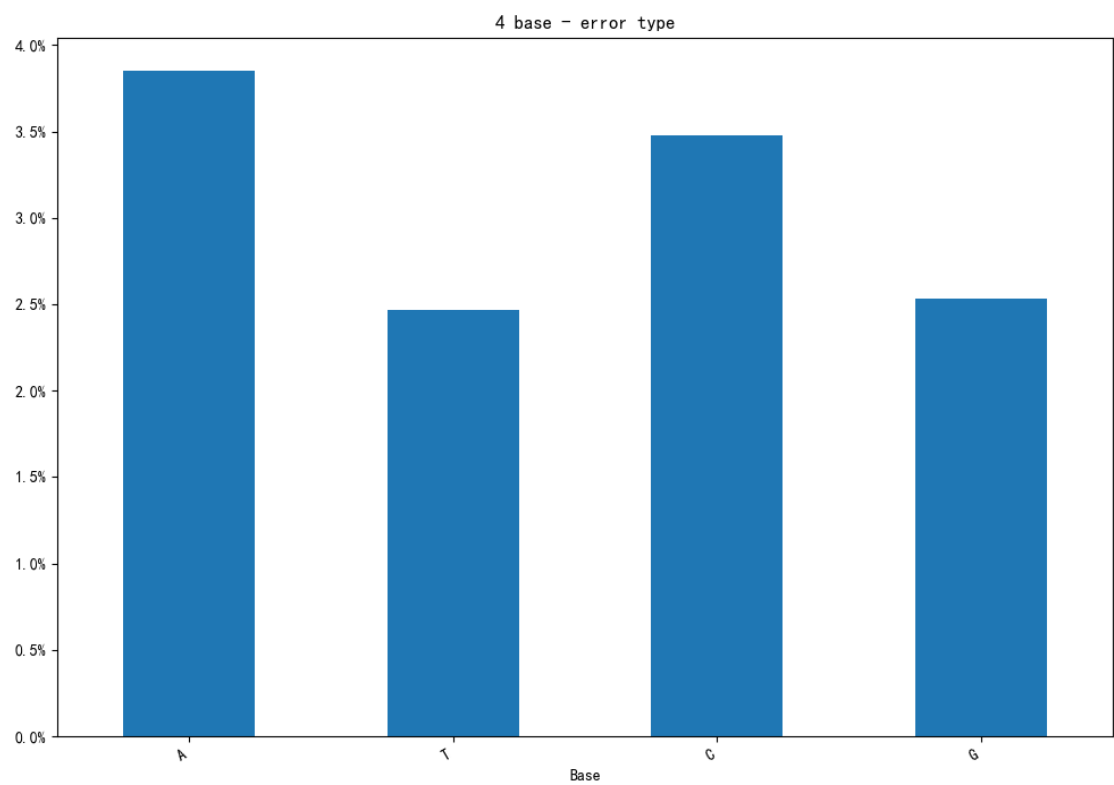
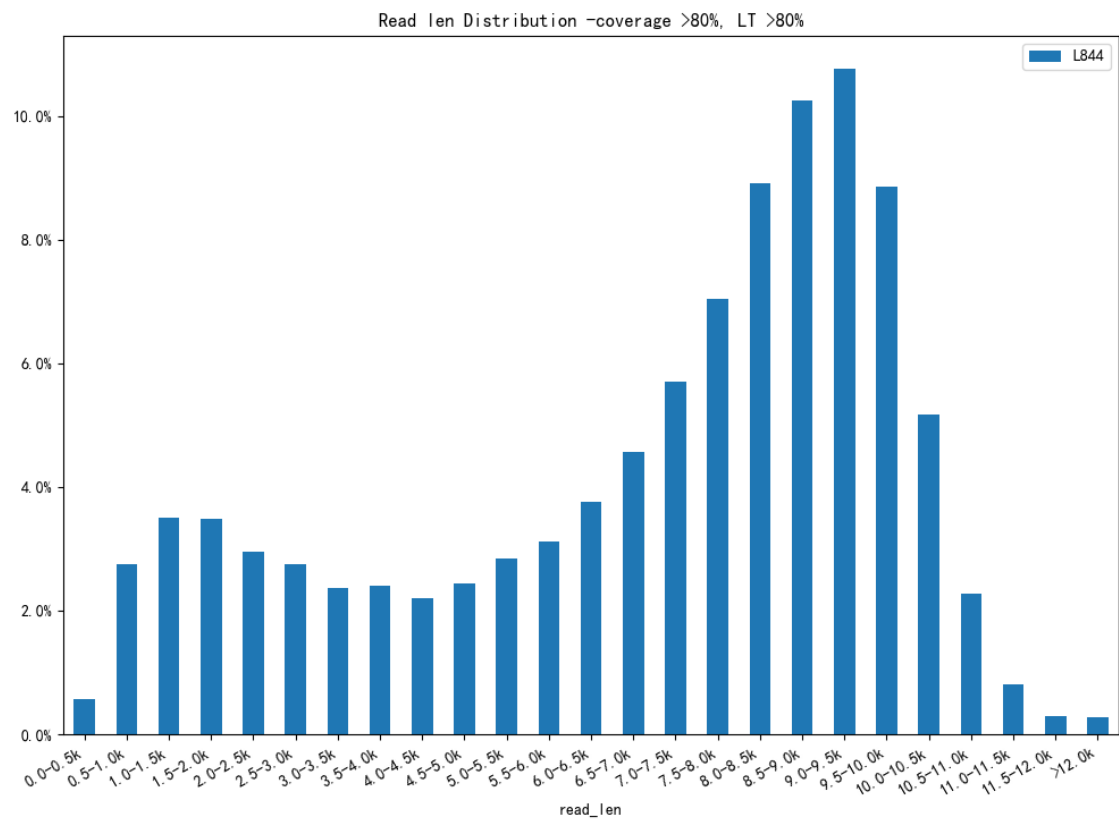


Fig 1-3-2 四种碱基-总错误统计



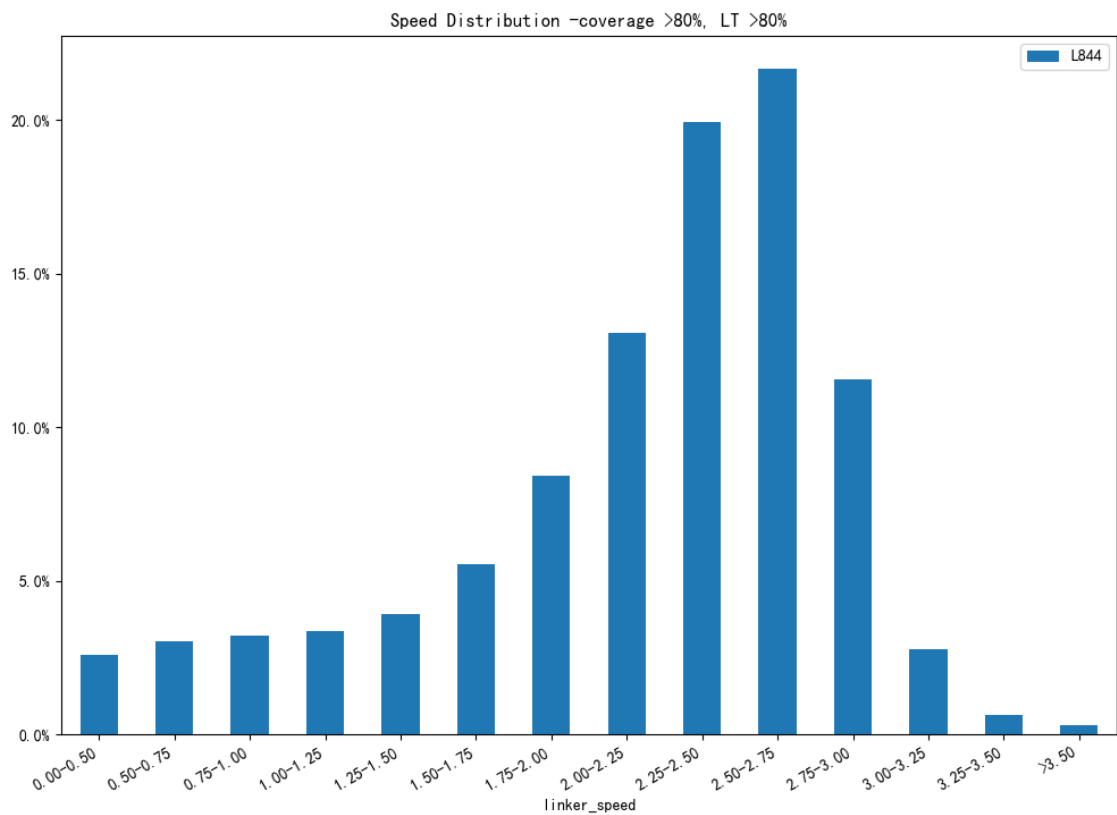
2. 读长相关统计

Fig 2-1 信号LT>60min 读长分布占比图



3. 速度相关统计

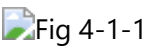
Fig 3-1 信号LT>60min 速度分布占比图



4. AR相关统计

4.1 与Block Rate的关系

Fig 4-1-1 AR与BR相关性散点图



4.2 AR分布

Fig 4-2-1 AR分布条形图

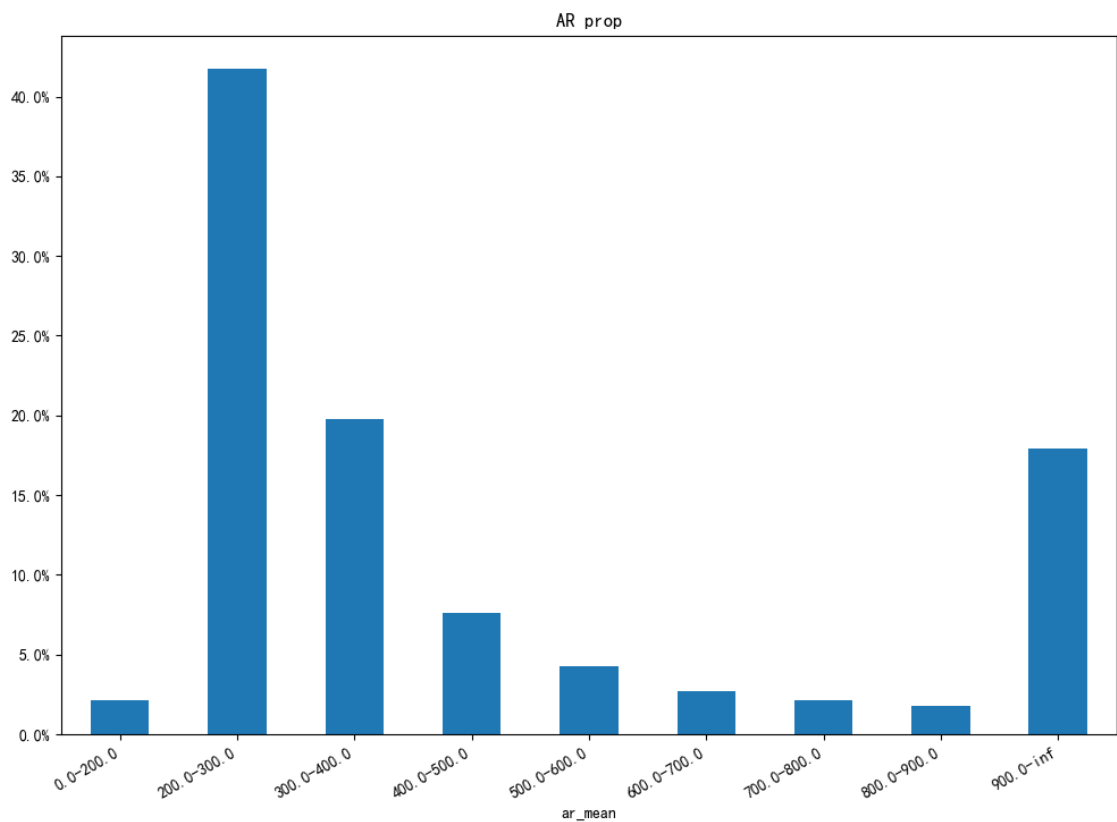
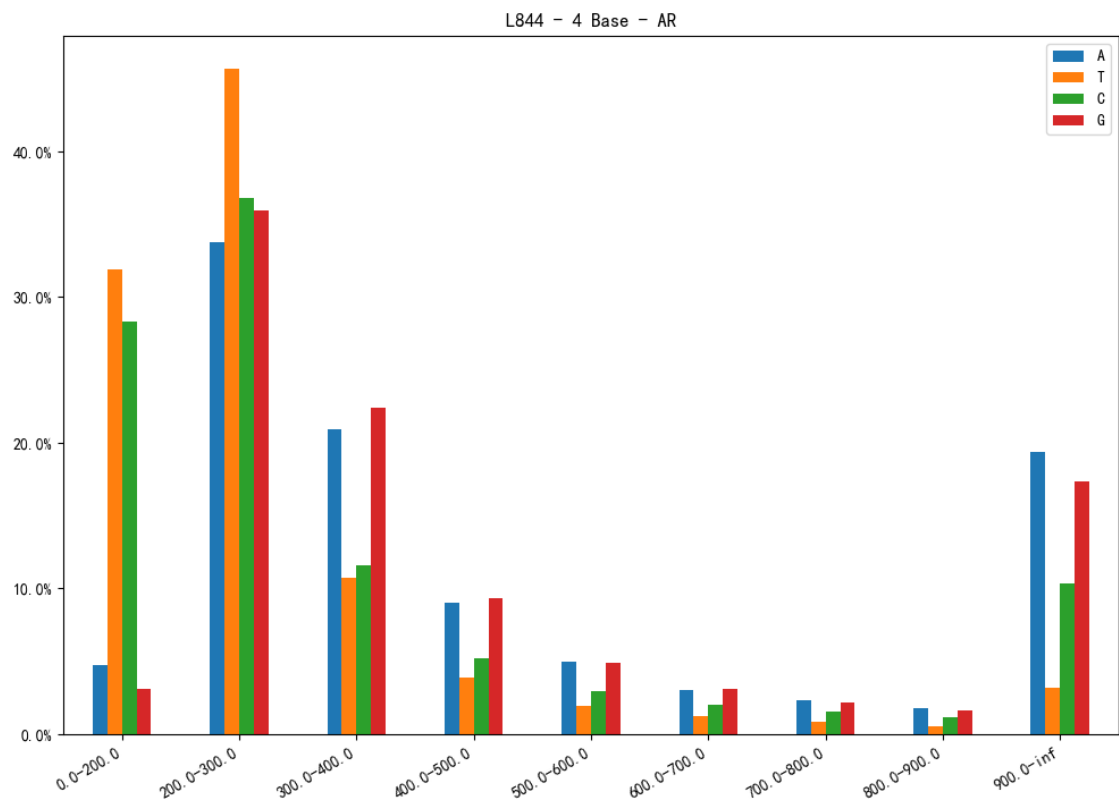


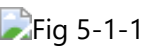
Fig 4-2-2 四种碱基AR占比图



5. DW相关统计

5.1 与Block Rate的关系

Fig 5-1-1 DW与BR相关性散点图



5.2 DW分布

Fig 5-2-1 DW分布条形图

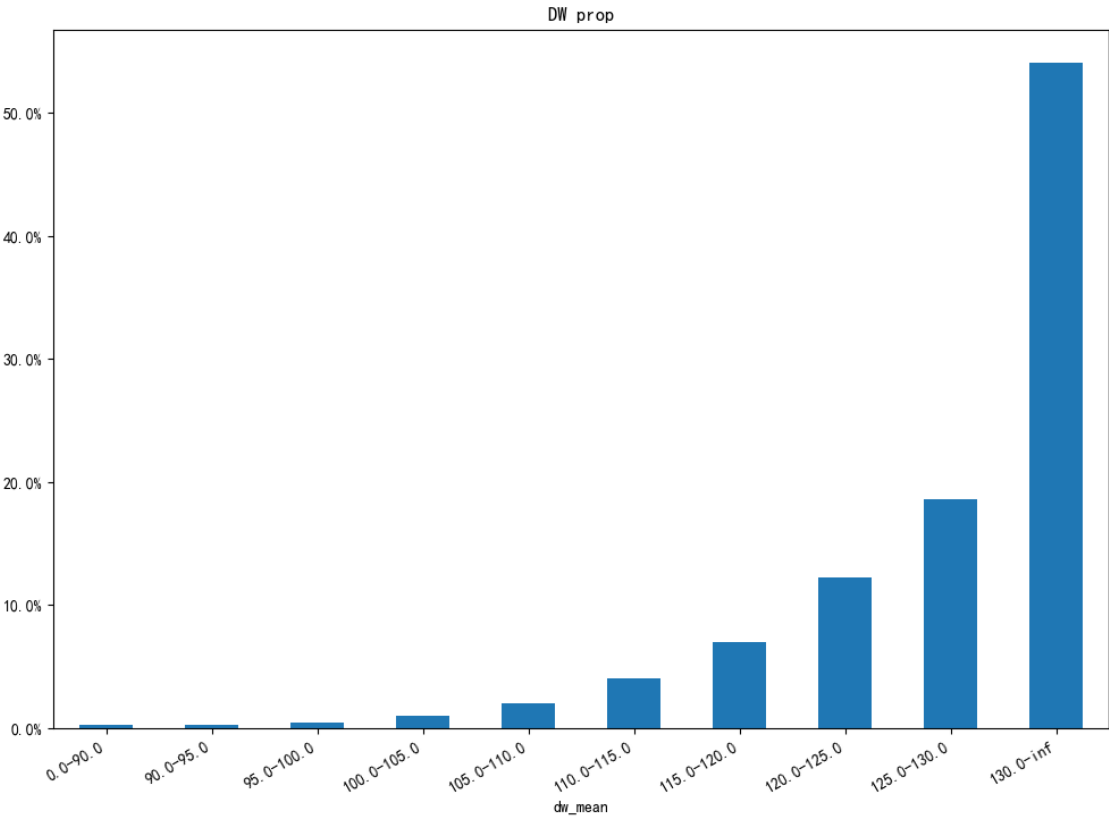
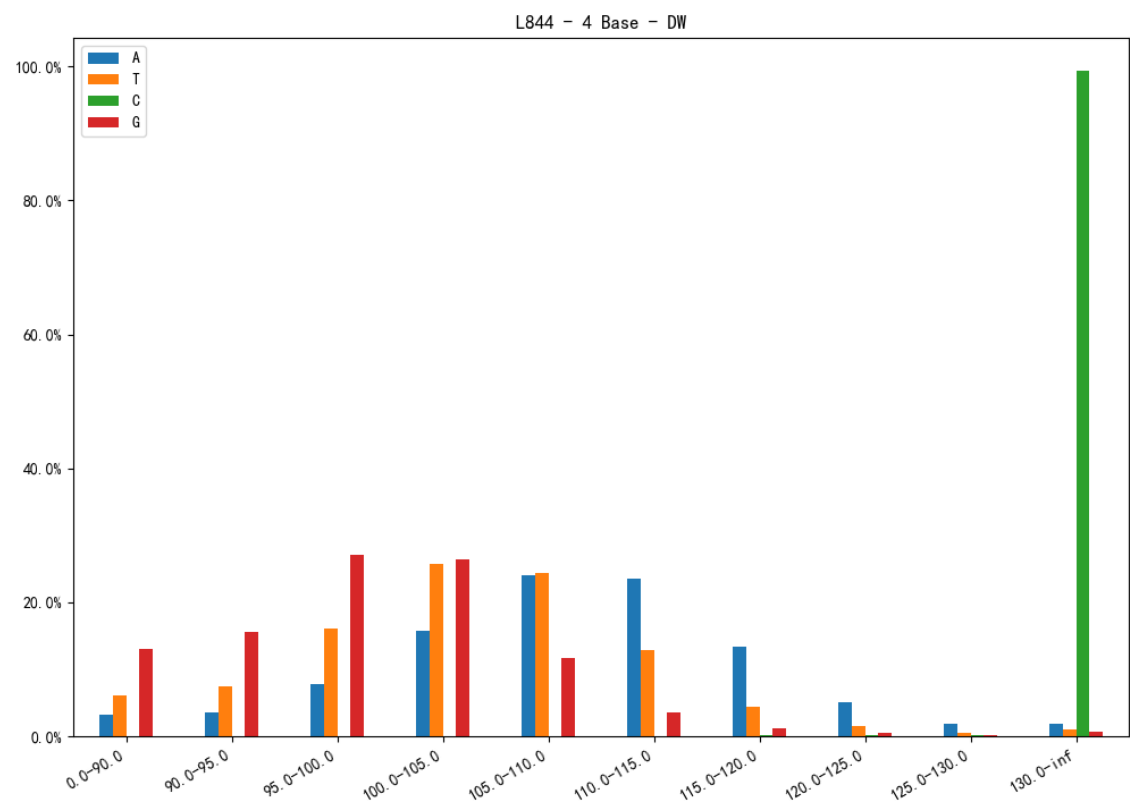


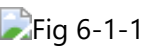
Fig 5-2-2 四种碱基DW占比图



6. Capture Rate相关统计

6.1 与Block Rate的关系

Fig 6-1-1 CR与BR相关性散点图



6.2 CR分布

Fig 6-2-1 DW分布条形图

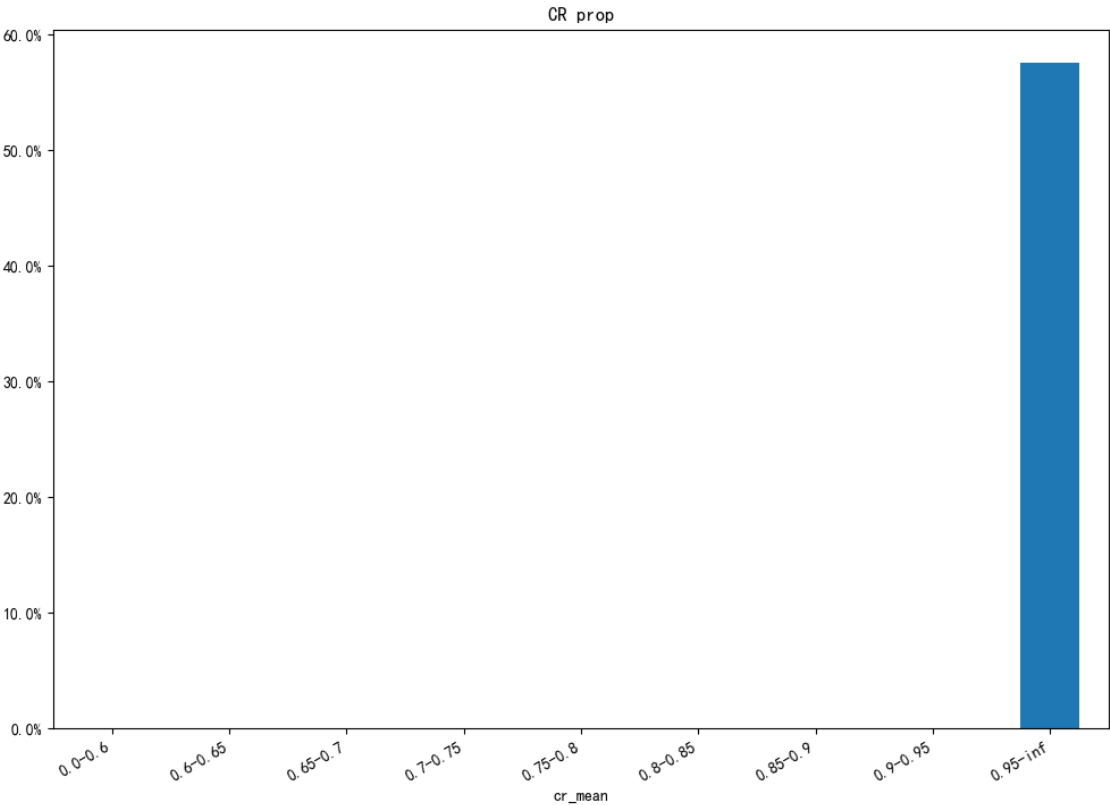
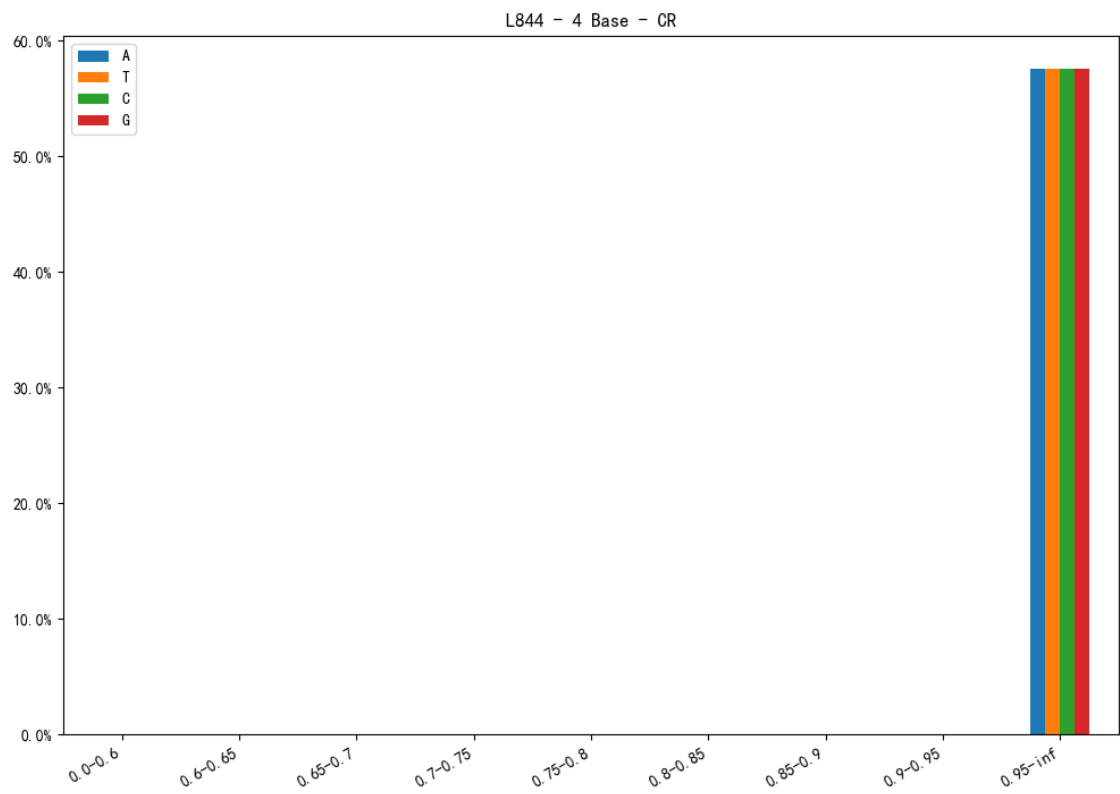


Fig 6-2-2 四种碱基CR占比图



7. Pore-LT与Basecall-LT相关统计

Fig 7-1 Pore-LT与Basecall-LT占比图

